



سال پانزدهم، شماره‌ی ۵۱
پاییز ۱۳۹۴، صفحات ۱-۱۸

دانشگاه آزاد اسلامی واحد اهر
فصلنامه‌ی علمی-پژوهشی فضای جغرافیایی

^۱ بهلول علیجانی^۲
^۲ پیمان محمودی^۳
^۳ دوست محمد کلیم

تحلیل آماری زمینه‌های آب و هوایی بیابان‌زایی در ایران

تاریخ دریافت: ۱۳۹۱/۰۹/۲۴ تاریخ پذیرش: ۱۳۹۲/۰۷/۳۰

چکیده

در این مقاله برای بررسی میزان آسیب پذیری ایران به بیابان‌زایی از شاخص بیوکلیماتیک یونپ (برنامه محیط‌زیست ملل متحد) استفاده شد. ابتدا داده‌های مربوط به دو پارامتر میانگین دمای سالانه و جمع بارش سالانه ۴۵ ایستگاه هواشناسی سینوپتیک برای یک دوره ۳۰ ساله (۱۹۷۶-۲۰۰۵) از سازمان هواشناسی کشور اخذ گردید. سپس شاخص یونپ برای کل ایستگاه‌ها محاسبه و نقشه پهنه‌بندی آن برای کل ایران تهیه شد. در ادامه با استفاده از آزمون آماری-گرافیکی من-کندال که یکی از روش‌های پیشنهادی سازمان هواشناسی جهانی برای تحلیل سری‌های زمانی می‌باشد روند تغییرات شاخص یونپ در گستره ایران بررسی شد. بر اساس شاخص یونپ مشاهده شد که بیشتر مساحت ایران تحت سیطره اقلیم خشک و نیمه خشک می‌باشد که از لحاظ کلاس خطر بیابان‌زایی در طبقه شدید

۱- استاد اقلیم شناسی و مدیر قطب علمی تحلیل فضایی مخاطرات محیطی، دانشگاه تربیت معلم، تهران، ایران.

۲- استادیار اقلیم شناسی، دانشکده جغرافیا و برنامه‌ریزی محیطی، دانشگاه سیستان و بلوچستان، زاهدان، ایران.
E-mail: Paymanasia@yahoo.com

۳- کارشناس ارشد هواشناسی کشاورزی، مرکز تحقیقات هواشناسی کاربردی استان سیستان و بلوچستان، زاهدان، ایران.

و بسیار شدید قرار می‌گیرند. نتایج آماره من-کندال نشان می‌دهند که از بین ۴۵ ایستگاه مورد مطالعه تنها ۸ ایستگاه دارای روند معنادار بوده‌اند. در سه ایستگاه بیرجند، تبریز و مشهد روند تغییرات شاخص یونپ دارای روند منفی بوده که نشان از تمایل تغییر اقلیم این ایستگاه‌ها از اقلیم نیمه‌خشک به اقلیم خشک را دارند. شاخص یونپ دو ایستگاه ارومیه و خوی نیز دارای روند منفی بوده‌اند، اما با این تفاوت که اقلیم این دو ایستگاه تمایل به سمت اقلیم نیمه‌خشک را نشان می‌دهند. روند تغییرات در ایستگاه سنتدج در غرب ایران نشان از جابجایی بین اقلیم نیمه‌خشک با اقلیم نیمه‌خشک و ایستگاه یزد از اقلیم خشک به اقلیم فرا‌خشک دارد. اما ایستگاه زابل در شمال استان سیستان و بلوچستان تنها ایستگاهی بوده است که روند یونپ آن مثبت بوده است. یعنی روند تغییرات آن از اقلیم فرا‌خشک به سمت اقلیم خشک بوده است. ایستگاه‌های نامبرده تنها ایستگاه‌هایی بودند که روند تغییرات آن‌ها در سطح احتمالاتی $\alpha=0.05$ معنی دار بوده است.

کلید واژه‌ها: بیابان زائی، شاخص یونپ، آزمون من-کندال، روند، ایران.

مقدمه

بیابان‌زایی به معنای «تخرب سرزمین در مناطق خشک و نیمه‌خشک تا خشک نیمه‌مرطوب به سبب عوامل مختلفی همچون تغییرات اقلیمی و فعالیت‌های انسانی» است (۴). این واژه که در دهه‌های اخیر با واژه بیابان قرین گردیده است برای اولین بار توسط گابریل آبرویل^۱ جنگل‌بان فرانسوی در سال ۱۹۴۹ برای بیان وضعیت قسمتی از جنگل‌های مناطق بارانی مورد استفاده قرار گرفت (خلدبرین، ۱۳۷۷: ۲۰). ولی واقعه‌ایی که این معضل زیست محیطی را به یک فاجعه انسانی در ابعاد جهانی تبدیل نمود، ظهور خشک‌سالی‌های متوالی کشورهای ساحلی آفریقا در دهه‌های ۱۹۶۰ و ۱۹۷۰ بود. این حادثه که منجر به فقر، آوارگی و مرگ هزاران انسان و تلف شدن میلیون‌ها راس دام گردید، سبب شد تا نظر جهانیان به پدیده‌ای تحت عنوان بیابان‌زایی جلب شود (طاوسی، ۱۳۷۹: ۱۱-۱۰).

بررسی مطالعات انجام شده در نقاط مختلف جهان و ایران نشان می‌دهد که پدیده بیابان زایی و عوارض ناشی از آن در فرآیندهایی از قبیل: خشکسالی (توکر و همکاران، ۱۹۹۱؛ توکر و نیکلسون، ۱۹۹۹؛ هولم، ۲۰۰۱)، پیشروی و گسترش مناطق بیابانی (ژی-کینگ و ژن-دا، ۲۰۰۱)، نابودی مراع و مزارع (شریفانی و همکاران، ۱۳۸۵؛ جعفری و همکاران، ۱۳۸۷؛ مرادی و همکاران، ۱۳۸۷)، شور و باتلاقی شدن خاک‌ها (جعفری و همکاران، ۱۳۸۱)، افت سطح آب‌های زیرزمینی و تغییر در کیفیت آن‌ها (طاوی، ۱۳۷۹؛ زهتابیان و همکاران، ۱۳۸۴)، کاهش آب‌های سطحی (زهتابیان و جعفری، ۱۳۸۱؛ فتاحی، ۱۳۸۸)، تلف شدن دام‌ها، فقر و بیچارگی، گرسنگی و مرگ هزاران انسان که خود حاصل همکاری‌های اکوسیستم‌های ناپایدار (به‌ویژه در مناطق خشک و نیمه خشک) و انسان زیاده طلب بوده، مورد بررسی قرار گرفته است.

تغییر اقلیم نیز به عنوان یکی از عوامل تاثیرگذار بر روی شدت و گسترش فرآیند بیابان‌زایی از جانب بسیاری از دانشمندان علوم مختلف و از زوایای گوناگون مورد توجه و دقت قرار گرفته است؛ به‌طوری که تغییرات در میزان آبیدوی سطح زمین به سبب تغییرات ویژگی‌های پوششی سطح زمین (با و همکاران، ۲۰۰۱)، اثر نقش افزایش گرد و غبارهای معدنی بر کاهش میزان قابلیت بارندگی ابرها (ین و همکاران، ۲۰۰۰؛ روزنفلد، ۲۰۰۱؛ نیکلسون، ۲۰۰۱)، تاثیر تغییرات الگوهای دمائی سطح دریا بر روی فرآیندهای آتمسفری (فولاند و همکاران، ۱۹۸۶؛ فولاند و همکاران، ۱۹۹۱؛ هولم و کلی، ۱۹۹۳؛ نیکلسون، ۲۰۰۱؛ جیانینی و همکاران، ۲۰۰۳) و رابطه بین بیابان‌زایی و خشکسالی (گلانتر، ۱۹۸۷؛ هولم، ۲۰۰۱) از جمله آن موضوعات می‌باشد.

در ایران هم مطالعات مختلفی جهت تفکیک قلمروهای بیابانی از دیدگاه اقلیم شناسی صورت گرفته است (حسینی و همکاران، ۱۳۸۲؛ کاشکی و همکاران، ۱۳۸۴؛ ابطحی و خسروشاهی، ۱۳۸۴؛ حسینی و همکاران، ۱۳۸۵؛ خسروشاهی و همکاران، ۱۳۸۸)، اما مطالعاتی که رابطه بین تغییرات اقلیمی و گسترش و شدت فرآیندهای بیابان‌زایی را مورد توجه قرار داده باشد بسیار اندک است و در این زمینه فقط می‌توان به کار طاوی و همکاران (۱۳۸۹) اشاره داشت. آن‌ها جهت مطالعه و بررسی روند گسترش مکانی اقالیم خشک و نیمه‌خشک در ایران به عنوان اولین حلقة تاثیرگذار در گسترش و تشدید بیابان‌زایی از شاخص زیست اقلیم یونپ (UNEP)^۷ بهره گرفتند. آن‌ها با تقسیم یک دوره ۳۰ ساله به سه زیر دوره ۱۰ ساله به این نتیجه رسیدند که از لحاظ مکانی شدیدترین تغییرات ابتدا در غرب و شمال‌غرب و سپس در جنوب‌شرق ایران مشاهده شده است. به‌طوری‌که در غرب و شمال‌غرب ایران جایگزین شدن

اقلیم نیمه خشک به جای اقلیم خشک نیمه مرطوب و نیمه مرطوب به وضوح قابل مشاهده است. در جنوب شرق ایران نیز شاهد گسترش اقلیم فراخشک هم در جهت مداری و هم در جهت نصف‌النهاری به جای اقلیم خشک بوده ایم. از آنجایی که کشور ایران در کمربند بیابانی نیمکره شمالی واقع شده است و قسمت اعظم آن تحت تسلط سلول‌های پرفشار مجاور حاره‌ای قرار دارد، لذا بیشتر وسعت آن را مناطق خشک و نیمه‌خشک تشکیل می‌دهد که بارندگی بین ۵۰ تا ۲۵۰ میلی‌متر دارد و پدیده «بیابان» و «بیابان زایی» عارضه‌ای محسوب می‌شود که محیط زیست و حیات اقتصادی ما را شدیداً تحت تاثیر و مورد تهدید قرار می‌دهد (طاووسی، ۱۳۷۹: ۱۷). بنابراین با توجه به روند افزایشی گرما در سطح جهان و وقوع خشک‌سالی‌های پیاپی در کشور این سوال در ذهن متأدر می‌شود که آیا این گرمایش جهانی و وقوع این خشک‌سالی‌ها بر میزان آسیب‌پذیری ایران از پدیده بیابان‌زایی تاثیری داشته است یا نه؟ لذا در این پژوهش قصد بر این است که با استفاده از آزمون آماری-گرافیکی من-کنداش که یکی از روش‌های پیشنهادی سازمان هواسناسی جهانی برای تحلیل سری‌های زمانی می‌باشد روند تغییرات اقلیمی شاخص یونپ (UNEP) در گستره ایران زمین بررسی شود.

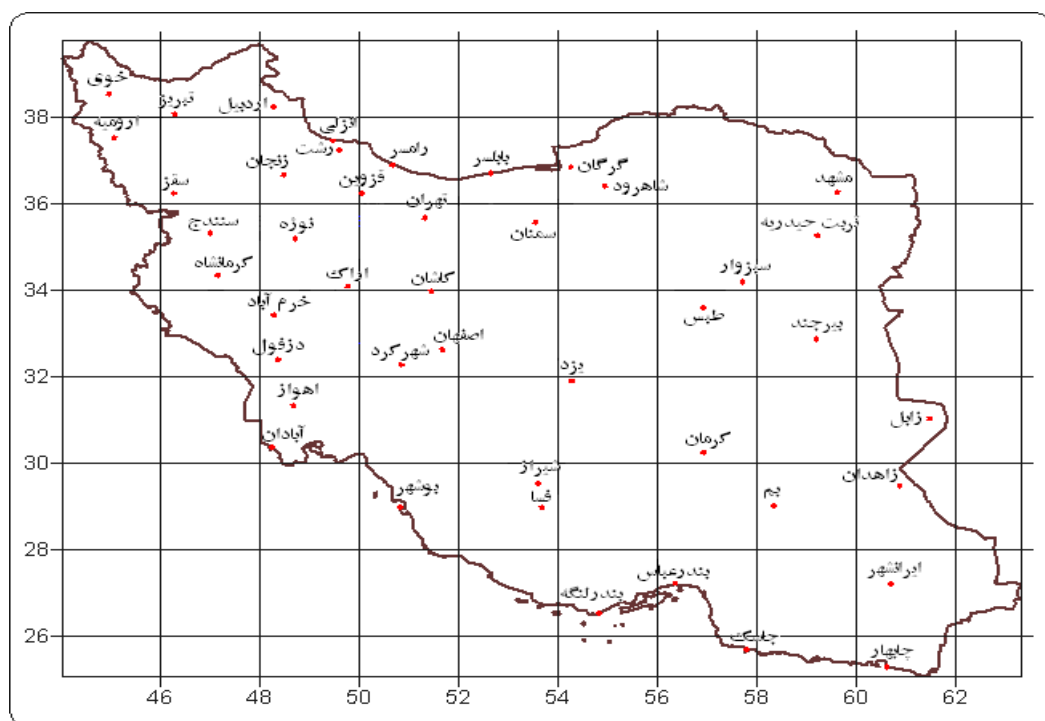
مواد و روش‌ها

برای بررسی روند تغییرات اقلیمی در ایران و تاثیر آن در شدت و گسترش فرآیند بیابان‌زایی، داده‌های مربوط به دو پارامتر میانگین دمای سالانه و جمع بارش ماهانه ۴۵ ایستگاه هواسناسی سینوپتیک برای یک دوره ۳۰ ساله (۲۰۰۵-۱۹۷۶) از سازمان هواسناسی کشور اخذ گردید. توزیع و پراکنش ایستگاه‌های مورد مطالعه در سطح کشور در شکل شماره ۱ آورده شده است. بازسازی داده‌ها با استفاده از روش همبستگی و مدل رگرسیونی و همگنی داده‌ها نیز با استفاده از روش ران تست برای کل ایستگاه‌ها مورد آزمون قرار گرفت و همگنی آن‌ها در سطح بالایی مورد پذیرش قرار گرفت.

در این تحقیق جهت بررسی میزان آسیب‌پذیری ایران به بیابان‌زایی از شاخص پیشنهادی برنامه محیط زیست ملل متحده بهره گرفته شده است. شاخص یونپ (UNEP) به شکل زیر محاسبه می‌شود (تورکش، ۱۹۹۹):

$$R = \frac{P}{ETP} \quad \text{رابطه (۱)}$$

که R شاخص عددی یونپ (UNEP)، P میانگین بارش سالانه به میلی‌متر و ETP میزان تبخیر و تعرق پتانسیل به میلی‌متر می‌باشد. لازم به ذکر است که محاسبه میزان تبخیر و تعرق در این رابطه با استفاده از شاخص تورنت وایت صورت می‌گیرد (علیزاده، ۱۳۸۳).



شکل ۱: نقشه موقعیت و پراکنش ایستگاههای مورد مطالعه

در نهایت بر اساس این شاخص مناطق خشک، نیمه خشک و ... بر اساس جدول زیر تقسیم‌بندی می‌شوند.

جدول ۱- طبقه بندی مناطق خشک بر اساس شاخص خشکی UNEP

مناطق اقلیمی	شاخص خشکی UNEP	کلاس خطر بیابان زائی
فرا خشک	R<0.05	بیابان واقعی
خشک	0.05<R<0.2	بسیار شدید
نیمه خشک	0.2<R<0.5	شدید
خشک نیمه مرطوب	0.5<R<0.65	متوسط
نیمه مرطوب	0.65<R<0.75	کم
مرطوب و بسیار مرطوب	0.75<R	عدم خطر بیابان زایی

پس از فراهم نمودن سری زمانی شاخص یونپ برای کل ۴۵ ایستگاه مورد مطالعه در سطح کشور، در مرحله دوم از آزمون آماری-گرافیکی من-کنдал جهت بررسی روند تغییرات این شاخص بهره گرفته شد. این آزمون ابتدا توسط من (۱۹۴۵) ارائه و سپس توسط کنдал (۱۹۷۵) بسط و توسعه یافته است. از نقاط قوت این آزمون می‌توان به مناسب بودن کاربرد آن برای سری‌های زمانی که از توزیع آماری خاصی پیروی نمی‌کنند اشاره نمود. همچنین اثربداری ناچیز این روش از مقادیر حدی که در برخی سری‌های زمانی مشاهده می‌شود از دیگر مزایای استفاده از این روش می‌باشد (حجام و همکاران، ۱۳۸۷). لذا با توجه به توانمندی‌هایی که این آزمون در آشکارسازی تغییرات رخ داده در سری‌های زمانی متغیرهای اقلیمی دارا می‌باشد بسیار مورد توجه محققین حوزه‌های مطالعاتی تغییر اقلیم بوده است (مارنگو، ۱۹۹۵؛ تایانچ و توروس، ۱۹۹۷؛ یوه و هاشینو، ۲۰۰۳؛ فیداس و همکاران، ۲۰۰۴؛ جیانگ و همکاران، ۲۰۰۸؛ تورکش و همکاران، ۲۰۰۸). این آزمون در واقع فرض صفر عدم وجود روند در سری‌های زمانی را بررسی می‌کند. در این راستا نقاط تغییر ناگهانی را هم شناسایی می‌کند. مراحل کار به شرح ذیل است (علیجانی و همکاران، ۱۳۹۰):

ابتدا داده‌های شاخص یونپ به صورت صعودی (از کم به زیاد) مرتب شده و در ادامه به هر عدد بر اساس جایگاهش در سری زمانی مورد مطالعه، رتبه‌ایی از ۱ تا ۳۰ بر اساس طول دوره آماری داده خواهد شد. سپس برای آزمون فرض صفر عدم وجود روند در سری زمانی، آماره کنдал (t) بر اساس فرمول زیر محاسبه می‌شود:

$$t = \frac{4 \sum H}{N(N-1)} - 1 \quad \text{رابطه (۲)}$$

که در آن، $\sum H$ فراوانی تجمعی تعداد رتبه‌هایی که بالاتر از هر ردیف قرار می‌گیرند و N تعداد سال‌های دوره آماری است که در این تحقیق ۳۰ سال می‌باشد. آماره استاندارد کنдал (t_0)، از رابطه زیر محاسبه شد:

$$t_0 = \pm tg \sqrt{\frac{4N+10}{9N(N-1)}} \quad \text{رابطه (۳)}$$

در این فرمول tg سطح معنی‌داری یا اطمینان آزمون است که در این تحقیق بر اساس سطح احتمال ۹۵ درصد مقدار آن ۱/۹۶ است. بنابراین در صورت اعمال این مقدار، t_0 برابر با $0.21 \pm$ خواهد شد. حال با توجه به مقدار بحرانی به دست آمده سه حالت زیر برقرار خواهد شد:

اگر $-0.21 < t < 0.21$ باشد روندی در سری‌های زمانی مشاهده نمی‌شود.

اگر $-0.21 < t$ باشد روند منفی در سری‌های زمانی مشاهده گردیده است.

اگر $+0.21 > t$ باشد روند مثبت در سری‌های زمانی مشاهده گردیده است

در گام دوم در صورت تأیید روند معنی‌داری، با استفاده از آماره گرافیکی من-کندا، زمان و نوع تغییرات تعیین خواهد شد. برای این کار دو مولفه U و U' محاسبه می‌گردد. برای بدست آوردن این دو مولفه ابتدا امید ریاضی، واریانس و مولفه U براساس فرمول‌های ۴، ۵ و ۶ به شرح زیر محاسبه می‌شوند:

$$E(t_i) = \frac{n_i(n_i - 1)}{4} \quad \text{رابطه (۴)}$$

$$V(t_i) = \frac{n_i(n_i - 1)(2n_i + 5)}{18} \quad \text{رابطه (۵)}$$

$$U(t_i) = \frac{\sum t_i - E(t_i)}{\sqrt{V(t_i)}} \quad \text{رابطه (۶)}$$

در این فرمول‌ها n_i شماره ردیف است. محاسبه مولفه U' بر عکس مولفه U است. امید ریاضی، واریانس و مولفه U' براساس فرمول‌های ۷، ۸ و ۹ محاسبه می‌شوند:

$$E'(t'_i) = \frac{(N - n_i + 1)(N - n_i)}{4} \quad \text{رابطه (۷)}$$

$$V'(t'_i) = \frac{(N - n_i + 1)(N - n_i)(2(N - n_i + 1) + 5)}{75} \quad \text{رابطه (۸)}$$

$$U'(t'_i) = \frac{\sum t'_i - E'}{\sqrt{V'}} \quad \text{رابطه (۹)}$$

پس از محاسبه مقادیر فوق، دو مقدار U و U' به صورت نمودار رسم خواهند شد. این نمودارها می‌توانند سه نوع مختلف از تغییرات را نشان دهند:

تغییرات ناگهانی: اگر محل برخورد دو منحنی U و U' در داخل محدوده بحرانی $1/96 \pm 1$ باشد و منحنی U از محدود بحرانی خارج شود و دوباره به داخل محدوده برگرد تغییرات از نوع ناگهانی خواهد بود.

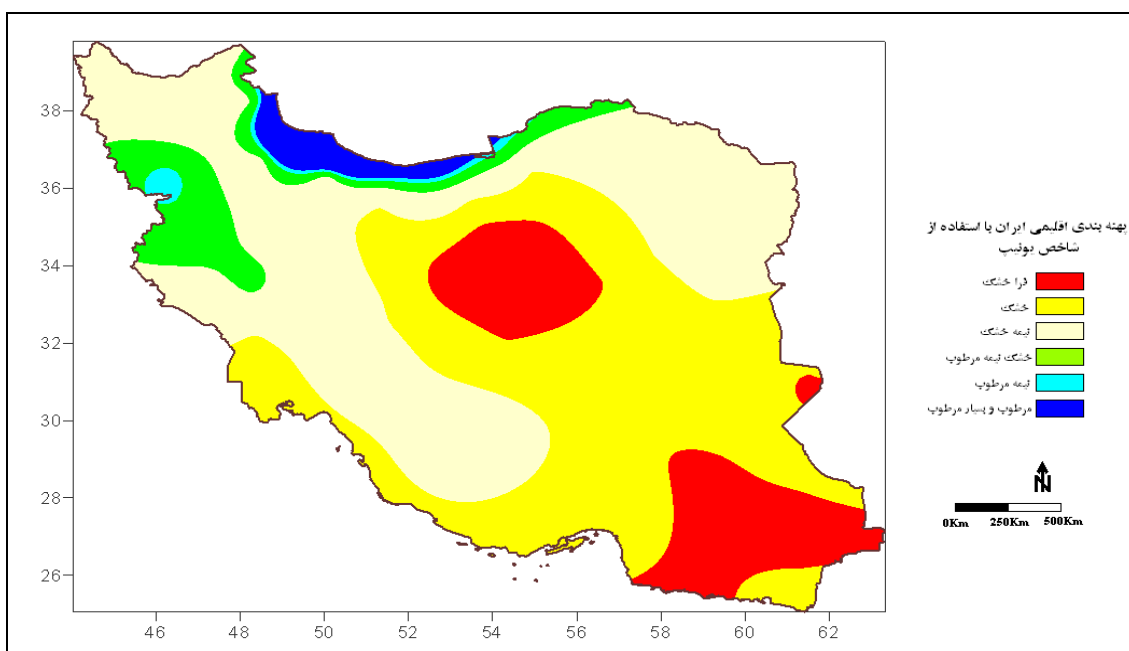
روند: اگر منحنی U پس از خروج از محدوده معنی‌داری دوباره به داخل محدوده بر نگردد روند معنی‌دار خواهد بود. به طرف مقادیر مثبت روند مثبت و به طرف مقادیر منفی روند منفی خواهد بود.

بدون تغییر؛ اگر دو منحنی ذکر شده در داخل محدوده بحرانی با هم برخورد کنند و از محدوده بحرانی خارج نشوند و یا هیچ تلاقی نباشد هیچ‌گونه تغییر و روند معنی‌داری مشاهده نمی‌شود.

در نهایت در محیط نرم افزاری Surfer نقشه‌های پهنه‌بندی روند بیابان‌زایی با استفاده از روش کریجینگ ترسیم شد.

یافته‌ها و بحث

بر اساس شاخص پیشنهادی برنامه محیط‌زیست ملل متحد (يونپ)، اقلیم مناطق مختلف جهان را می‌توان در هفت طبقه مختلف دسته‌بندی نمود (جدول ۱). هر هفت نوع اقلیم مبتنی بر این شاخص در ایران وجود دارند. بر اساس این شاخص مشاهده می‌شود که بیشتر مساحت ایران در مرکز، شرق، جنوب، شمال‌غرب و شمال‌شرق تحت سیطره دو اقلیم خشک و نیمه‌خشک می‌باشند. نوار جنوبی دریای خزر دارای اقلیم مرطوب و بسیار مرطوب، ارتفاعات شمالی رشته کوه البرز دارای اقلیم نیمه مرطوب و ارتفاعات جنوبی آن به همراه قسمت‌هایی از غرب ایران دارای اقلیم خشک نیمه‌مرطوب هستند. اقلیم فراخشک نیز در ایران مرکزی، دشت سیستان و جنوب استان سیستان و بلوچستان قابل مشاهده است (شکل ۲).



شکل ۲: پهنه‌بندی اقلیمی ایران با استفاده از شاخص یونپ

از لحاظ کلاس شدت خطر بیابان زایی، ایران یکی از کشورهای مستعد به بیابان زایی از دیدگاه اقلیم‌شناسی می‌باشد، چون‌که بیشتر مساحت این کشور در دو کلاس شدید و بسیار شدید (اقلیم خشک و نیمه‌خشک) قرار می‌گیرند (جدول ۱).

جدول ۲- نتایج آزمون آماره من-کنдал به همراه آستانه بحرانی آن‌ها برای سری‌های زمانی یونپ ایستگاه‌ها

ردیف	نام ایستگاه	آماره کنдал	آستانه بحرانی	ردیف	نام ایستگاه	آماره کنдал	آستانه بحرانی
۱	آبادان	-۰/۱۰	±۰/۲۱	۲۳	سقز	-۰/۱۱	±۰/۲۱
۲	اهواز	-۰/۱۷	±۰/۲۱	۲۴	سنندج	-۰/۵۳	±۰/۲۱
۳	اراک	-۰/۰۹	±۰/۲۱	۲۵	سمنان	-۰/۰۴	±۰/۲۱
۴	اردبیل	-۰/۱۲	±۰/۲۱	۲۶	شاہرود	-۰/۱۹	±۰/۲۱
۵	بابلسر	-۰/۰۵	±۰/۲۱	۲۷	شیراز	-۰/۰۲	±۰/۲۱
۶	بم	*	±۰/۲۱	۲۸	طبس	-۰/۱	±۰/۲۱
۷	بندر انزلی	-۰/۱۲	±۰/۲۱	۲۹	تریت حیدریه	-۰/۰۷	±۰/۲۱
۸	بندر عباس	-۰/۱۹	±۰/۲۱	۳۰	یزد	-۰/۲۲	±۰/۲۱
۹	بندر لنگه	-۰/۱۶	±۰/۲۱	۳۱	زابل	۰/۲۳	±۰/۲۱
۱۰	چابهار	-۰/۱۴	±۰/۲۱	۳۲	Zahidan	-۰/۰۲	±۰/۲۱
۱۱	دزفول	-۰/۰۹	±۰/۲۱	۳۳	زنجان	-۰/۰۸	±۰/۲۱
۱۲	فسا	۰/۰۴	±۰/۲۱	۳۴	تبریز	-۰/۲۳	±۰/۲۱
۱۳	قرزوین	-۰/۰۸	±۰/۲۱	۳۵	ارومیه	-۰/۲۹	±۰/۲۱
۱۴	گرگان	-۰/۰۹	±۰/۲۱	۳۶	خوی	-۰/۳۰	±۰/۲۱
۱۵	نوژه همدان	-۰/۰۳	±۰/۲۱	۳۷	اصفهان	*	±۰/۲۱
۱۶	ایرانشهر	*	±۰/۲۱	۳۸	کاشان	۰/۰۵	±۰/۲۱
۱۷	کرمان	-۰/۱۶	±۰/۲۱	۳۹	بوشهر	۰/۱۷	±۰/۲۱
۱۸	کرمانشاه	-۰/۱۲	±۰/۲۱	۴۰	تهران	*	±۰/۲۱
۱۹	خرم آباد	-۰/۱۳	±۰/۲۱	۴۱	شهرکرد	*	±۰/۲۱
۲۰	رامسر	-۰/۱۲	±۰/۲۱	۴۲	بیرجند	-۰/۲۴	±۰/۲۱
۲۱	رشت	۰/۰۲	±۰/۲۱	۴۳	مشهد	-۰/۲۴	±۰/۲۱
۲۲	سیزوار	-۰/۱۸	±۰/۲۱				

محاسبه آماره من-کندال شاخص یونپ، برای کل ایستگاه‌های مورد مطالعه، حاکی از یک روند کاهشی در اکثر سری‌های زمانی یونپ می‌باشد؛ به طوری که میانگین حسابی آماره من-کندال برای کل کشور $0/10$ - است که نشان از یک روند کاهشی در سطح کشور دارد اما این روند در سطح احتمالاتی $0/05$ معنادار نیست. اما از مجموع ۳۴ ایستگاه مورد مطالعه، ۳۳ ایستگاه دارای روند منفی، ۵ ایستگاه دارای روند مثبت و ۵ ایستگاه باقی‌مانده نیز فاقد روند بوده‌اند. اما تمامی این روندها در سطح احتمالاتی $0/05$ معنی‌دار نیستند و تنها هفت ایستگاه سنتنج، یزد، تبریز، ارومیه، خوی، بیرجند و مشهد دارای روند کاهشی معنادار بوده‌اند و ایستگاه زابل در ایران تنها ایستگاهی بوده که دارای روند افزایشی مثبت معنادار بوده است (جدول ۲).

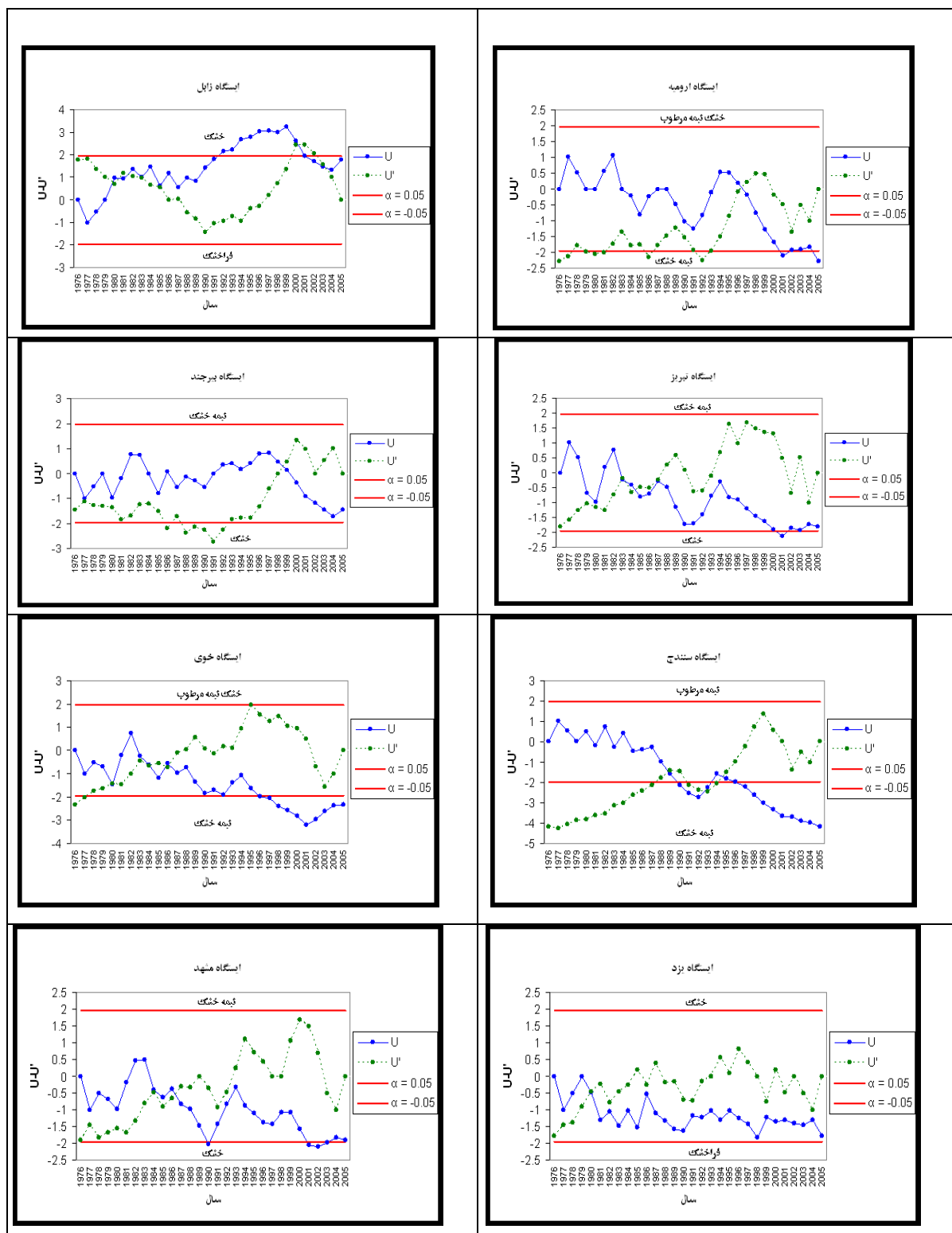
با استفاده از نمودارهای مربوط به سری‌های زمانی مقادیر آماره‌های $u(t)$ و $u(t_i)$ می‌توان نوع و زمان تغییرات را نیز به‌دست آورد. نمودار ایستگاه‌هایی که روند آن‌ها توسط آماره من-کندال معنی‌دار تشخیص داده شده بودند در شکل شماره ۳ آورده شده‌اند. زمانی که مقادیر منحنی $(t_i)u$ از مقدار آستانه تعیین شده در یک گراف سری زمانی شکل شماره ۳ آورده شده‌اند. می‌توان این روند آن‌ها را تجاوز کند، یک روند معنی‌دار تشخیص داده می‌شود. در (که برابر با $\pm 1/96$ در سطح احتمالاتی $0/05$ است) تجاوز کند، یک روند معنی‌دار تشخیص داده می‌شود. در نمودارهای مربوط به ایستگاه‌های سنتنج، خوی و ارومیه مقادیر پائین $(t_i)u$ از سطح معنی‌داری $0/05$ تجاوز می‌کند که این حاکی از روند معنادار بودن کاهش در سری زمانی یونپ می‌باشد. برای تغییرات ناگهانی نیز اگر منحنی $(t_i)u$ سری زمانی از سطح معنی‌داری $0/05$ تجاوز کند و دوباره به سطح معناداری $0/05$ برگردد، تغییرات از نوع تغییرات ناگهانی خواهد بود. این نوع از تغییرات را می‌توان در ایستگاه‌های زابل، تبریز و مشهد به وضوح در شکل شماره ۳ مشاهده نمود. برای تعیین زمان تغییرات ناگهانی یا نقطه شروع یک روند دوره‌ایی، منحنی‌های $(t_i)u$ و $(t)u$ بایستی در یک نقطه مشترک همدیگر را قطع کنند. این موضوع آشکارا در نمودارهای مربوط به ایستگاه‌های ارومیه (سال شروع تغییرات: ۱۹۹۷)، بیرجند (سال شروع تغییرات: ۱۹۹۹)، تبریز (سال شروع تغییرات: ۱۹۸۷)، خوی (سال شروع تغییرات: ۱۹۸۵)، سنتنج (سال شروع تغییرات: ۱۹۹۴)، مشهد (سال شروع تغییرات: ۱۹۸۶) و یزد (سال شروع تغییرات: ۱۹۸۰) قابل مشاهده است.

با توجه به این‌که بیش‌تر گستره ایران زمین از اقلیمی خشک و نیمه‌خشک برخوردار است و این اقالیم از لحاظ اقلیمی یکی از مستعدترین اقلیم‌ها برای وقوع پدیده بیابان‌زایی به شمار می‌رود اما مشاهده می‌شود که این شرایط اقلیمی در بعضی از قسمت‌های ایران در حال تشدید شدن می‌باشد به‌طوری که در سه ایستگاه بیرجند، تبریز و مشهد که دارای اقلیمی نیمه‌خشک هستند و از لحاظ کلاس خطر بیابان‌زایی در طبقه شدید قرار دارند، روند تغییرات

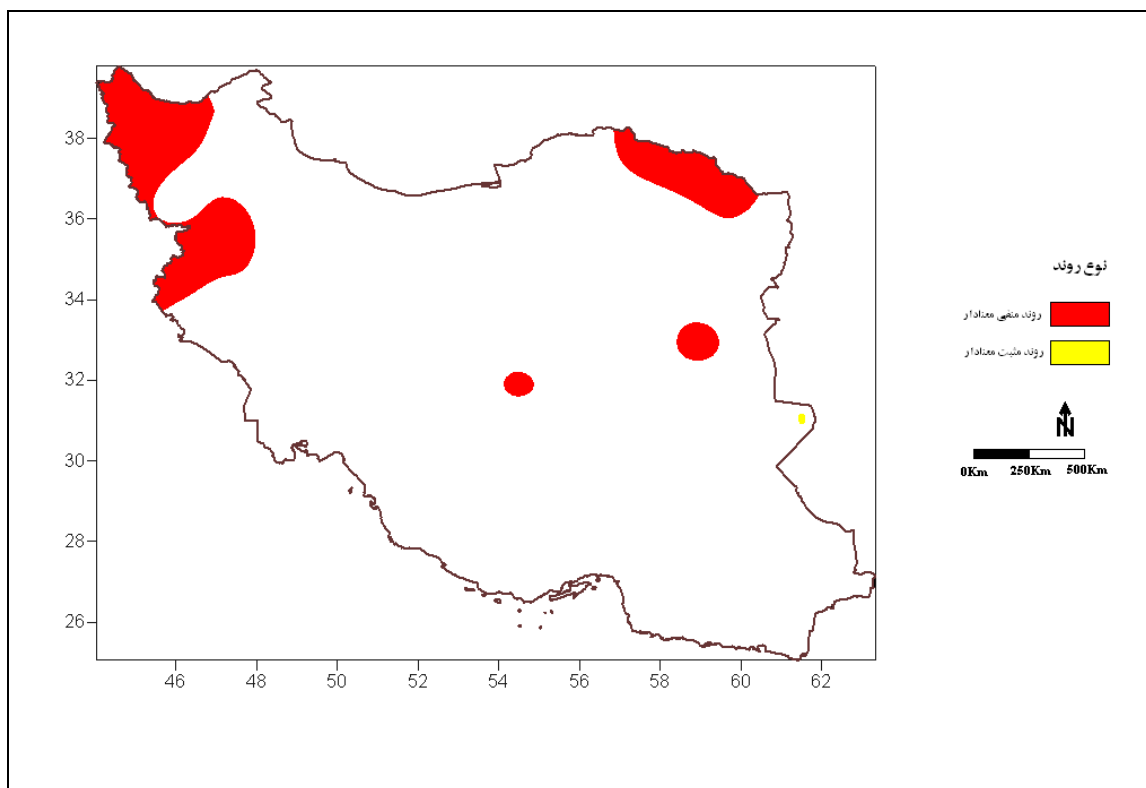
شاخص یونپ نشان از تمایل اقلیمی این ایستگاهها از اقلیم نیمه خشک به اقلیم خشک را دارند که در این صورت کلاس خطر بیابان زایی آنها نیز به کلاس بسیار شدید تغییر می‌یابد (شکل ۳). دو ایستگاه ارومیه و خوی در شمال غرب ایران با داشتن اقلیم خشک نیمه مرطوب، روند تغییرات آنها تمایل به سمت اقلیم نیمه خشک دارند که از لحاظ کلاس خطر بیابان زایی از کلاس متوسط به کلاس شدید سوق داده می‌شوند. روند تغییرات در ایستگاه سنتنچ در غرب ایران نشان از جابجایی بین اقلیم نیمه مرطوب با اقلیم نیمه خشک و ایستگاه یزد از اقلیم خشک به اقلیم فرا خشک دارد. که قاعدهاً کلاس خطر بیابان زایی آنها نیز تغییر خواهد نمود (شکل ۳).

اما ایستگاه زابل در شمال استان سیستان و بلوچستان تنها ایستگاهی بوده است که روند یونپ آن مثبت بوده است. یعنی روند تغییرات آن از اقلیم فراخشک به سمت اقلیم خشک بوده است. که با این وضعیت این ایستگاه از کلاس خطر بیابان زایی بیابان واقعی به سمت کلاس بسیار شدید تغییر وضعیت نشان می‌دهد. شاید این تغییر وضعیت مقداری گمراه کننده باشد و ما را مقداری از واقعیت‌های موجود در دشت سیستان دور کند. یکی از دلایل این تغییر وضعیت، افزایش فراوانی طوفان‌های گرد و غباری در دشت سیستان می‌باشد. افزایش این طوفان‌های گرد و غباری باعث کاهش تابش ورودی خورشید به دشت سیستان کاهش پیدا می‌کند متعاقب آن دمای هوا نیز مقداری کاهش پیدا می‌کند. این کاهش دما به صورت زنجیر وار بر روی میزان تبخیر و تعرق پتانسیل که در مخرج شاخص یونپ قرار گرفته است اثر می‌گذارد و آن را نیز کاهش می‌دهد. لذا این تغییرات باعث می‌شود که شاخص یونپ برای دشت سیستان بهبود وضعیت را نشان دهد که این بهبود وضعیت اقلیم در دشت سیستان با واقعیت‌های موجود حال حاضر آن بسیار متفاوت است (شکل ۳) چون با خشک شدن دریاچه‌های سه‌گانه هامون و خشک‌سالی‌های شدید و طولانی مدت این چند دهه اخیر دشت سیستان را در معرض شدیدترین خطرات بیابان‌زایی قرار داده است. لذا می‌توان گفت که این شاخص برای مناطقی که با افزایش طوفان‌های گرد و غباری همراه هستند نمی‌تواند گویای تمام واقعیت‌های موجود در آن مناطق باشند.

توزیع فضایی تغییرات معنادار در سری‌های زمانی شاخص یونپ ایستگاهها در شکل شماره ۴ آورده شده است. بر اساس این شکل مشاهده می‌شود که غرب و شمال‌غرب، به همراه شمال‌شرق، جزو مناطقی هستند که تغییر شرایط اقلیمی آنها باعث تشدید در روند بیابان‌زایی آنها خواهد گردید. هرچند طول دوره آماری جهت اظهار نظر در مورد تایید تغییر اقلیم بسیار کوتاه است اما از آن می‌توان به عنوان نشانه‌هایی از شروع هر گونه تغییری یاد کرد.



شکل ۳: نمودار تغییرات U و U' شاخص خشکی یونپ ایستگاه‌های دارای روند معنی‌دار



شکل ۴: پهنه‌بندی روند تغییرات شاخص خشکی یونپ در گستره ایران زمین

نتیجه‌گیری

بر اساس شاخص پیشنهادی برنامه محیط‌زیست ملل متحد (یونپ) مشاهده می‌شود که بیشتر مساحت ایران تحت سیطره اقلیم خشک و نیمه‌خشک می‌باشدند که از لحاظ کلاس خطر بیابان‌زایی در طبقات شدید و بسیار شدید قرار می‌گیرند. نتایج آماره من-کنداش برای اکثر ایستگاه‌های مورد مطالعه نشان از یک روند کاهشی در سری‌های زمانی شاخص یونپ دارند، این روند کاهشی در این شاخص گویای این مطلب است که اقلیم ایران تمایل به سمت اقلیم‌های خشک‌تر دارد. اما لازم به اشاره است که این روندها برای همگی ایستگاه‌ها در سطح احتمالاتی 0.05 معنادار نیست.

در سه ایستگاه بیرجند، تبریز و مشهد که دارای اقلیمی نیمه‌خشک هستند و از لحاظ کلاس خطر بیابان‌زایی در طبقه شدید قرار دارند، روند تغییرات شاخص یونپ نشان از تمایل اقلیمی این ایستگاه‌ها از اقلیم نیمه‌خشک به اقلیم خشک را دارد که در این صورت کلاس خطر بیابان‌زایی آن‌ها نیز به کلاس بسیار شدید تغییر می‌یابد. دو ایستگاه

ارومیه و خوی در شمال غرب ایران با داشتن اقلیم خشک نیمه مرطوب، روند تغییرات آن‌ها تمایل به سمت اقلیم نیمه خشک دارند که از لحاظ کلاس خطر بیابان‌زایی از کلاس متوسط به کلاس شدید سوق داده می‌شوند. روند تغییرات در ایستگاه سنتدج در غرب ایران نشان از جابجایی بین اقلیم نیمه مرطوب با اقلیم نیمه خشک و ایستگاه یزد از اقلیم خشک به اقلیم فرا خشک دارد. که قاعده‌تاً کلاس خطر بیابان‌زایی آن‌ها نیز تغییر خواهد نمود.

اما ایستگاه زابل در شمال استان سیستان و بلوچستان تنها ایستگاهی بوده است که روند یونپ آن مثبت بوده است. یعنی روند تغییرات آن از اقلیم فراخشک به سمت اقلیم خشک بوده است. که با این وضعیت این ایستگاه از کلاس خطر بیابان‌زایی بیابان واقعی به سمت کلاس بسیار شدید تغییر وضعیت نشان می‌دهد.

این تغییرات در شاخص یونپ که قاعده‌تاً می‌تواند نتیجه تغییر در دیگر عناصر اقلیمی همچون دمای حداقل، دمای حداکثر و میزان بارش (علیجانی و همکاران، ۱۳۹۰؛ علیجانی و همکاران، ۱۳۹۱) باشد، قبلًاً توسط طاووسی و همکاران (۱۳۸۹) مورد مطالعه و بررسی قرار گرفته بود که نتایج تحقیقات آن‌ها این تغییرات را به خصوص در غرب و شمال غرب ایران تایید می‌کند. اگر این شرایط اقلیمی با دیگر عوامل تشید کننده بیابان‌زایی همچون چرای بی رویه، جنگل تراشی، افت منابع آب زیرزمینی، فرسایش آبی و ... همراه باشد می‌تواند در تشید تخریب سرزمین این منطقه موثر باشند. بنابراین هرگونه تغییر در اقلیم به عنوان اولین زنجیره تاثیرگذار در دیگر فرآیندهای بیابان‌زایی باقیستی بسیار مورد توجه قرار گیرد.

منابع

- ابطحی، س. م؛ خسروشاهی، م (۱۳۸۴)، «قلمرو بیابان‌های استان اصفهان از دیدگاه اقلیم شناسی»، *تحقیقات مرتع و بیابان ایران*، شماره ۱۲، صص ۲۶۲-۲۴۹.
- جعفری، م؛ آذرنیوند، ح؛ زهتابیان، غ؛ جمشیدی، ع (۱۳۸۱)، «بررسی نقش کیفیت منابع آب آبیاری در بیابانی شدن اراضی کشاورزی در حاشیه کویر دامغان»، *بیابان*، شماره ۷، صص ۱۲۸-۱۲۱.
- جعفری، م؛ صادقی پور، ا؛ آذرنیوند، ح؛ فخری، ف؛ کمالی، ن (۱۳۸۷)، «بررسی تاثیر عامل بی‌رویه کشاورزی در بیابان‌زائی (بررسی موردی: منطقه دشتی استان بوشهر)»، *منابع طبیعی ایران*، شماره ۶۱، صص ۲۰۹-۲۰۱.
- حجام، س؛ خوشخو، ی؛ شمس‌الدین وندی، ر (۱۳۸۷)، «تحلیل روند تغییرات بارندگی‌های فصلی و سالانه چند ایستگاه منتخب در حوزه مرکزی ایران با استفاده از روش‌های ناپارامتری»، *پژوهش‌های جغرافیائی*، شماره ۶۴، صص ۱۶۸-۱۵۷.
- حسینی، س. م؛ کرمی، س. ع؛ خسروشاهی، م (۱۳۸۲)، «توسعه روشی برای شناسائی و تفکیک مناطق بیابانی از دیدگاه اقلیم شناسی (مطالعه موردی استان تهران)»، *تحقیقات مرتع و بیابان ایران*، شماره ۱۰، صص ۵۵-۳۹.
- خسروشاهی، م؛ عطاپور فرد، ع؛ کرمی، س. ع (۱۳۸۵)، «معرفی و تعیین ویژگی‌های بیابان‌های اقایمی و زمین شناسی در استان تهران»، *تحقیقات مرتع و بیابان ایران*، شماره ۱۳، صص ۱۰۸-۱۰۲.
- خسروشاهی، م؛ کاشکی، م، ت؛ انصافی مقدم، ط (۱۳۸۸)، «قلمرو بیابان‌های اقلیم شناسی ایران»، *تحقیقات مرتع و بیابان ایران*، شماره ۱۶، صص ۱۱۳-۹۶.
- خلدبرین، ع (۱۳۷۷)، «بیابان‌زایی و توسعه»، *فصلنامه جنگل و مرتع*، سازمان جنگل‌ها و مرتع کشور، شماره ۳۸، صص ۲۳-۲۰.
- زهتابیان، غ، ر؛ جعفری، ر (۱۳۸۱)، «تعیین شدت تخریب منابع آب در منطقه کاشان با استفاده از مدل بیابان‌زایی»، *محیط شناسی*، شماره ۳۰، صص ۳۰-۱۹.
- زهتابیان، غ. ر؛ احمدی، ح؛ جوادی، م. ر؛ آذرنیوند، ح (۱۳۸۴)، «ارزیابی کمی شدت بیابان‌زایی ناشی از تخریب منابع آب و ارائه یک مدل منطقه‌ای بیابان‌زائی در حوضه آبخیز ماهان»، *بیابان*، شماره ۱۰، صص ۲۰۴-۱۸۹.

- شریفانی، ف؛ جعفری، م؛ آذرنیوند، ح؛ عباسی، ح. ر؛ سوری، م (۱۳۸۵)، «بررسی تاثیر کشت گیاه بر بیابانی شدن اراضی دشت سگزی اصفهان»، *تحقیقات مرتع و بیابان ایران*، شماره ۲۵، صص ۳۶۷-۳۵۹.
- طاووسی، ت (۱۳۷۹)، «تحلیل علل هیدرولوژیکی بیابان‌زایی (مطالعه موردنی: حاشیه چاله گاوخونی)»، رساله دکتری، دانشکده علوم انسانی، دانشگاه تربیت مدرس.
- طاووسی، ت؛ محمودی، پ؛ سرگلزائی مقدم، ف (۱۳۸۹)، «مقایسه گسترش مکانی اقالیم خشک و نیمه خشک در ایران طی دوره ۱۹۷۶-۲۰۰۵»، *فصلنامه تحقیقات مرتع و بیابان ایران*، شماره ۱۷، صص ۱۰۵-۹۴.
- علیجانی، ب؛ محمودی، پ؛ چوگان، ع (۱۳۹۱)، «بررسی روند تغییرات بارش‌های سالانه و فصلی ایران با استفاده از روش ناپارامتریک (برآورد کننده شبیه سنس)»، *پژوهش‌های اقلیم شناسی*، شماره ۵ و ۶، صص ۴۲-۲۳.
- علیجانی، ب؛ محمودی، پ؛ سلیقه، م؛ ریگی چاهی، ا. ب (۱۳۹۰)، «بررسی تغییرات کمینه‌ها و بیشینه‌های دمای سالانه در ایران»، *فصلنامه تحقیقات جغرافیایی*، شماره ۱۰۲، صص ۱۲۲-۱۰۱.
- علیزاده، ا (۱۳۸۳)، «*اصول هیدرولوژی کاربردی*»، مشهد: انتشارات دانشگاه امام رضا.
- فتاحی، م (۱۳۸۸)، «بررسی روند بیابان‌زایی در استان قم با استفاده از داده‌های سنجش از دور با تأکید بر تغییرات استفاده از اراضی و تغییرات کمی و کیفی منابع آب»، *تحقیقات مرتع و بیابان ایران*، شماره ۳۵، صص ۲۵۳-۲۳۴.
- کاشکی، م. ت؛ غفوریان، ر؛ خسروشاهی، م (۱۳۸۴)، «تهیه نقشه مناطق بیابانی استان خراسان بر اساس پارامترهای اقلیمی و استفاده از سیستم اطلاعات جغرافیائی»، *تحقیقات مرتع و بیابان ایران*، شماره ۱۲، صص ۱۹-۱۱.
- مرادی، ح. ر؛ فاضل پور، م. ر؛ صادقی، س. ح. ر؛ حسینی، س. ز (۱۳۸۷)، «بررسی تغییر کاربری اراضی در بیابان زائی محدوده شهر اردکان با استفاده از سنجش از دور»، *تحقیقات مرتع و بیابان ایران*، شماره ۳۰، صص ۱۲-۱۱.
- Ba, M.B., Nicholson, S.E., Frouin, R., (2001), "Temporal and spatial variability of surface radiation budget over the African continent as derived from METEOSAT, Part II: Temporal and spatial variability of surface global surface irradiance, albedo and net radiation", *Journal of Climate*, 14: 60-76.
- Feidas, H.T., Makrogiannis, E., Bora-Senta., (2004), "Trend analysis of air temperature time series in Greece and their relationship with circulation using surface and satellite data: 1955-2001", *Theoretical and Applied Climatology*, 79 (3): 185-2008.
- Folland, C. K., Palmer, T.N., Parker, D.E., (1986), "Sahel rainfall and worldwide sea temperature, 1901-85", *Nature*, 320: 602-607.

- Folland, C. K., Owen, J., Ward, M.N., Colman, A., (1991), "Prediction of seasonal rainfall in the Sahel region using empirical and dynamic methods", *Journal of Forecasting*, 10: 21-56.
- Glantz, M. H., (1987)," Drought and economic development in sub-Saharan Africa. In: M. H. Glantz, (EdS): Drought and Hunger in Africa: Denying Famine a future", *Cambridge University Press, Cambridge*, pp 37-58.
- Giannini, A., Saravanan, R., Chang, P., (2003), "Ocean forcing of Sahel rainfall on interannual to interdecadal time scales", *Science*, 302: 1027-1030.
- Hulme, M., (2001), "Climatic perspectives on Sahelian desiccation: 1973-1998", *Global Environmental Change*, 11: 19-29.
- Hulme, M., Kelly., M., (1993), "Exploring the links between desertification and climate change", *Environment*, 35: 4-11 and 39-45.
- Jiang, T., Kundzewicz, Z.W., Su, B., (2008), "Changes in monthly precipitation and flood hazard in the Yangtze River Basin, China", *International Journal of Climatology*, 28(11): 1471-1481.
- Kendall, M. G., (1975), "Rank correlation methods. Charles Griffin", *London*.
- Mann, H. B., (1945), "Nonparametric tests against trend", *Econometrica* 13: 245-259.
- Marengo, J. A., (1995), "Variations and change in South American streamflow", *Climatic Change*, 31 (1): 99-117.
- Nicholson, S., (2001), "Climatic and environmental change in Africa during the last two centuries", *Climate Research*, 17: 123-144.
- Rosenfeld, D., Rudich, Y., Lahav, R., (2001), "Desert dust suppressing precipitation: a possible desertification feedback loop", Proceeding of the national academy of science of The United State of America, pp 5975-5980.
- Tayanç, M., Toros, H., (1997), "Urbanization effects on regional climate change in the case of four large cities of Turkey", *Climatic change*, 35 (4): 501-524.
- Tucker, C. J., Nicholson, S. E., (1999), "Variations in the size of the Sahara desert from 1980 to 1997, *Ambio*, 28(7): 587-591.
- Tucker, C.J., Dregne, H.E., Newcomb, W.W., (1991), "Expansion and contraction of the Sahara desert from 1980 to 1990", *Science*, 253: 299-301.
- Türkeş, M., (1999), "Vulnerability of Turkey to desertification with respect to precipitation and aridity conditions", *Tr.J. of Engineering and Environmental Science*, 23: 363-380.
- Türkes, M., Koç, T., Sarış, F., (2008), "Spatiotemporal variability of precipitation total series over Turkey", *International Journal of Climatology*, 29 (8): 1056-1074.
- UNCCD., (1995), "The United Nations Convention to Combat Desertification in Those Countries Experiencing Serious Drought and/or Desertification, Particularly in Africa, text with Annexes. UNEP, Geneva.

- Yin, Z., Levin, Z., Reisin, T.G., Tzivion, S., (2000), "The effects of giant cloud condensation nuclei on the development of precipitation in convective clouds a numerical study", *Atmospheric Research*, 53: 91-116.
- Yue, S., Hashino, M., (2003), "Temperature trends in Japan: 1900-1996", *Theoretical and Applied Climatology*, 75 (1-2): 15-27.
- Zhi-qing, C.Z., Zhen-da., (2001), "Development of land desertification in Bashang area in the past 20 years", *Journal of Geographical Science*, 11 (4): 433-437.